

Modelado del comportamiento de películas delgadas con simulaciones Monte Carlo

Observaciones Experimentales

- Transición de reorientación

Dominios tipo fajas con $S \perp$ Película

$M=0$

M (ferromagneto) \parallel Película

¿gap paramagnético?
¿fase tetragonal líquida?

- Sin transición de reorientación:

$TL \perp$ Película

Dominios tipo fajas con $S \perp$ Película

Paramagneto \perp Película

$NM \perp$ Película

$TL \perp$ Película

Modelos

- Para sistemas que presentan transición de reorientación

$$H = -\delta \sum_{\langle i,j \rangle} \vec{S}_i \cdot \vec{S}_j + \sum_{\langle i,j \rangle} \left[\frac{\vec{S}_i \cdot \vec{S}_j}{r_{ij}^3} - 3 \frac{(\vec{S}_i \cdot \vec{r}_{ij})(\vec{S}_j \cdot \vec{r}_{ij})}{r_{ij}^3} \right] - \eta \sum_i (S_i^z)^2$$

Con z dirección perpendicular a la película, \vec{S}_i vectores unitarios, $\delta = J/g$ y $\eta = K/g$.

- Para sistemas que no presentan transición de reorientación:
modelo de Ising con interacciones dipolares

$$H = -\delta \sum_{\langle i,j \rangle} S_i S_j + \sum_{\langle i,j \rangle} \frac{S_i S_j}{r_{ij}^3} \quad S_i = \pm 1$$

Simulaciones Monte Carlo

- Experimento numérico: estudiamos el comportamiento de un modelo simplificado teniendo control de los parámetros microscópicos.
- Transiciones de fase (límite termodinámico): debemos aplicar escaleo de tamaño finito.
- Transiciones continuas: enfrentamos enlentecimiento crítico y fuertes efectos de tamaño finito.
- Para calcular el valor medio de los observables debemos elegir un método que nos asegure las configuraciones que más contribuyen a la función de partición
- ¿Cómo? Con un muestreo pesado que asegure: una cadena de Markov, balance detallado y la accesibilidad de los estados.

Algoritmo Metrópolis

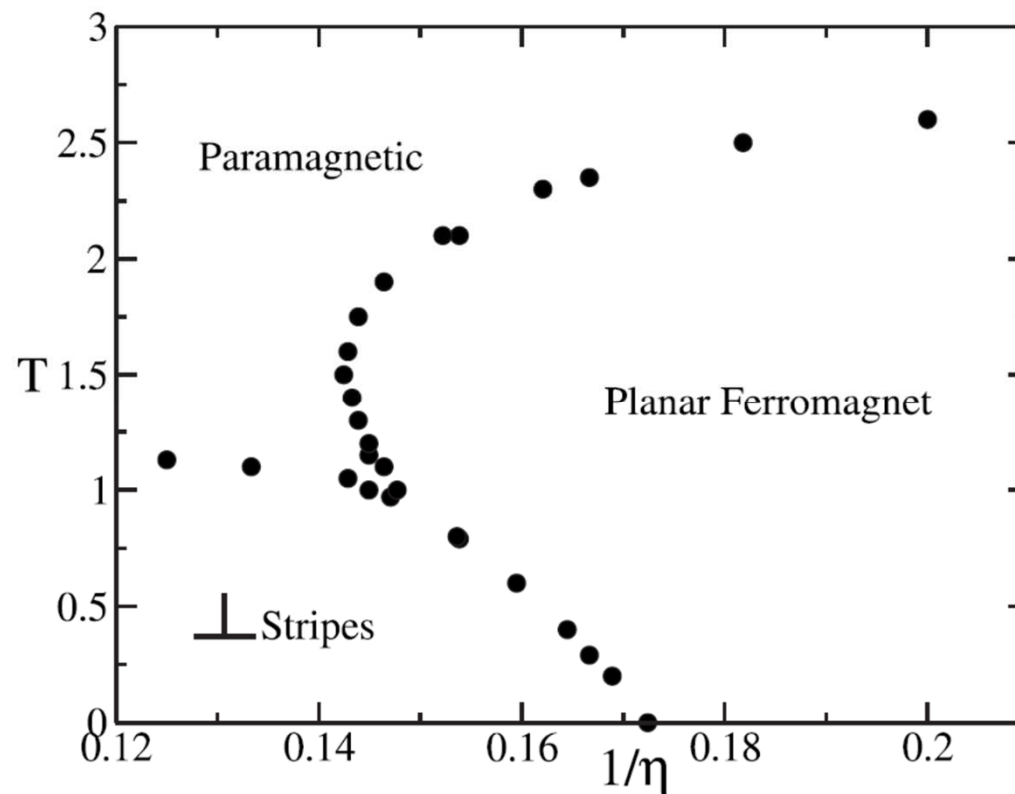
- Elegimos una configuración (normalmente conocida).
- Elegimos una nueva configuración aleatoriamente
- Calculamos la diferencia de energía entre las configuraciones.
- Si $\Delta E < 0$ acepto la nueva configuración.
- Si $\Delta E > 0$ calculo $e^{-\frac{\Delta E}{k_B T}}$ y comparo con un número aleatorio, aceptando si este menor.
- Repetimos hasta completar una unidad de tiempo de simulación o PMC.

Cálculo de los observables:

- Se descartan $t_e PMC$ para alcanzar una configuración de equilibrio.
- Se calculan los observables.
- Se descartan $t_c PMC$ para alcanzar una configuración no correlacionada con la anterior.
- Se calculan los observables y se obtiene el promedio.
- Se puede promediar en muestras.

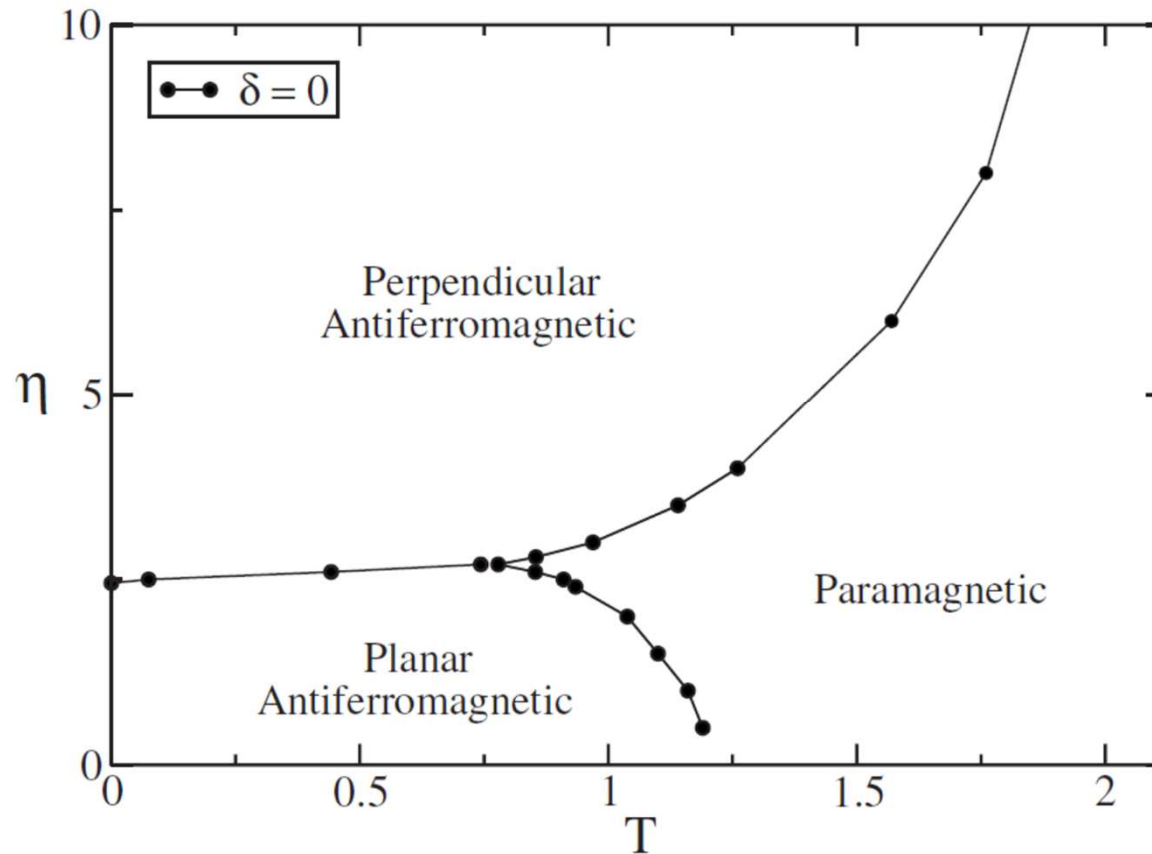
Algunos resultados SMC:

$$H = -\delta \sum_{\langle i,j \rangle} \vec{S}_i \cdot \vec{S}_j + \sum_{(i,j)} \left[\frac{\vec{S}_i \cdot \vec{S}_j}{r_{ij}^3} - 3 \frac{(\vec{S}_i \cdot \vec{r}_{ij})(\vec{S}_j \cdot \vec{r}_{ij})}{r_{ij}^3} \right] - \eta \sum_i (S_i^z)^2$$



Red cuadrada $L=40$, condiciones de contorno periódicas (sumas de Edwal) y $t_e \sim 10^6 PMC$, $t_c \sim 10^4 PMC$. M. Carubelli et al., Phys. Rev. B, **77**, 134417 (2008).

$$H = \sum_{(i,j)} \left[\frac{\vec{S}_i \cdot \vec{S}_j}{r_{ij}^3} - 3 \frac{(\vec{S}_i \cdot \vec{r}_{ij})(\vec{S}_j \cdot \vec{r}_{ij})}{r_{ij}^5} \right] - \eta \sum_i (S_i^z)^2$$



Red cuadrada $L=40$, condiciones de contorno periódicas (sumas de Edwal) y $t_e \sim 10^6 PMC$, $t_c \sim 10^4 PMC$. M. Carubelli et al., Phys. Rev. B, **77**, 134417 (2008).

Modelo de Ising con interacciones dipolares

$$H = -\delta \sum_{\langle i,j \rangle} S_i S_j + \sum_{(i,j)} \frac{S_i S_j}{r_{ij}^3}$$

- Películas magnéticas con fuerte anisotropía perpendicular al plano de la película que no presentan transición de reorientación.
- Red cuadrada:
 - Término dipolar produce frustración, rompiendo el orden ferromagnético y produciendo fases con magnetización nula.
 - Estado fundamental: AF para $\delta < 0.425$
 - $\delta > 0.425$ fajas de ancho h creciente con δ .

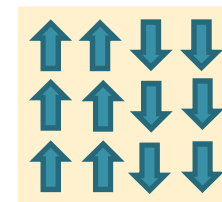
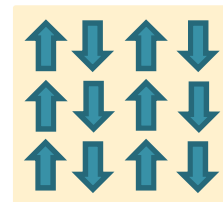
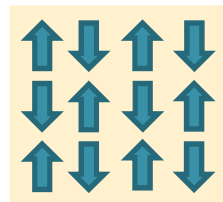
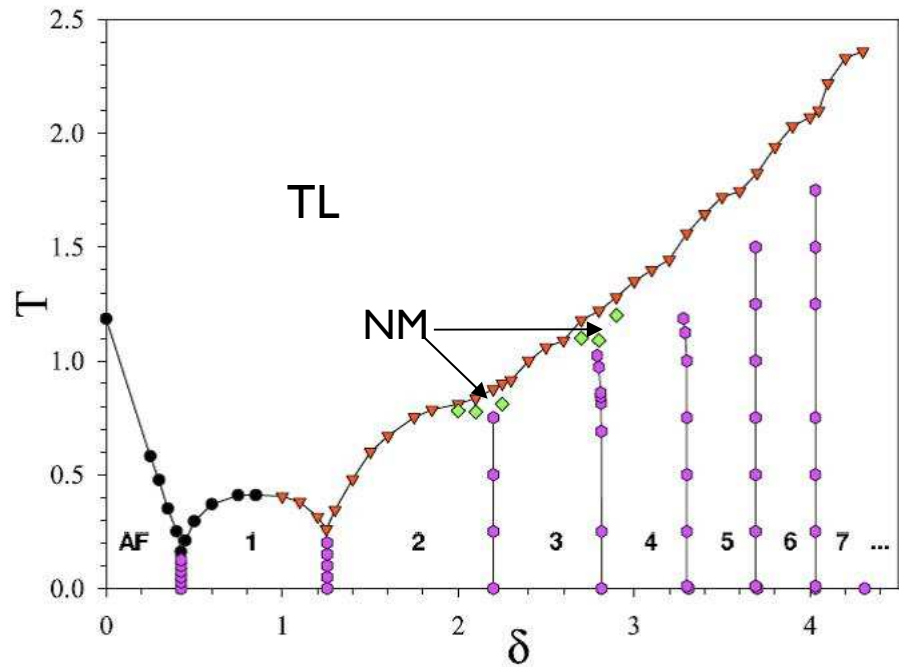
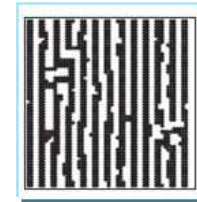


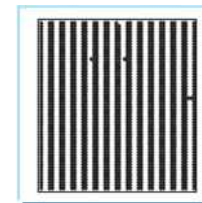
Diagrama de Fases (Monte Carlo)



Tetragonal
Líquida (TL)



Nemática
(NM)



Fajas ancho
 h ($n=h$)

- AF \rightarrow $h=1 \rightarrow h=2 \rightarrow \dots \rightarrow h=n \rightarrow h=n+1$: 1er. orden
- AF \rightarrow TL: continuas
- TL \rightarrow paramagnética: sin signos de transición.
- $h = n \rightarrow$ TL:
 - $0.4403 < \delta < 0.85$: continuas
 - $0.85 < \delta < 1.2585$ no hay acuerdo
 - δ mayores ¿1er. orden débil?
- $h=n$ con $n > 1 \rightarrow$ NM \rightarrow TL ¿1er orden? ¿Kosterlitz Thouless?

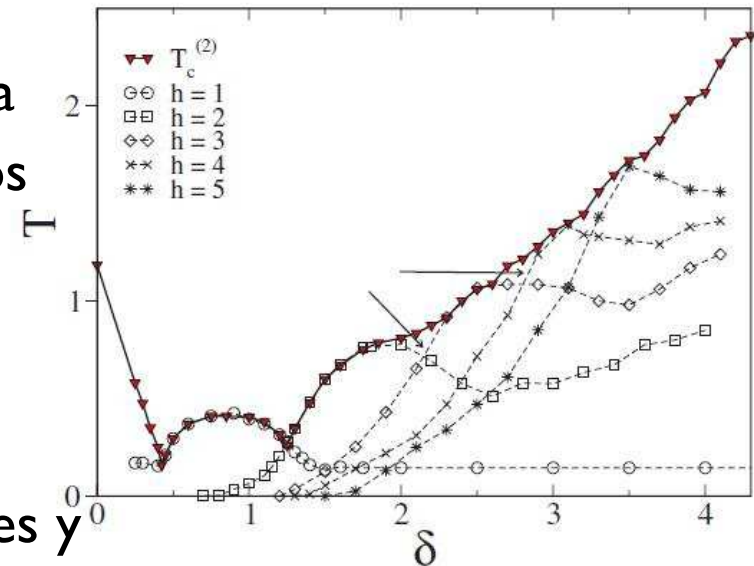
Origen en las discrepancias en el resultados MC

- Término dipolar
 - La sumatoria incrementa los tiempos de simulación, limitando el tamaño L del sistema.
 - Fuertes efectos de tamaño finito.



Dificulta escaleos de tamaño finito concluyentes.

- Múltiples estados metaestables a bajas temperaturas implica largos tiempos de equilibración.
- Dificultad para distinguir entre transiciones de 1er. orden débiles y continuas.



Simulaciones Monte Carlo

- **Parámetro de orden orientacional**

$$O_{hv} = \frac{n_v - n_h}{n_v + n_h} = \begin{cases} 1 & \text{fase } h = n \\ 0 & \text{fase TL} \end{cases}$$

n_h (n_v) = N° enlaces horizontales (verticales) entre primeros vecinos antiparalelos.

- **Algoritmo Metrópolis**

- **Observables:**

$$O_{hv}^2 = \left\langle \left(\frac{n_v - n_h}{n_v + n_h} \right)^2 \right\rangle$$

$$\chi = \frac{1}{N} (O_{hv}^2 - (O_{hv})^2)$$

$$U = 1 - \frac{O_{hv}^2}{(O_{hv})^2}$$

$$D = \left. \frac{\partial \log(O_{hv})}{\partial \tau} \right|_{\tau=0}$$

Condiciones de Contorno Periódicas

Replicas del sistema en todas direcciones \rightarrow agregado (L, m).

$$\sum_{i < j} \frac{\sigma_i \sigma_j}{r_{ij}^3} = \sum_{i \leq j} \sum_R A(r_i, R + r_j) \sigma(r_i) \sigma(r_j), \quad A(r_i, R + r_j) = \begin{cases} 0 & i = j \text{ y } R = 0 \\ (r_i - R - r_j)^{-3} & \text{otros} \end{cases}$$



$$H = \sum_{i < j} J_{ij}^{eff} \frac{\sigma(r_i) \sigma(r_j)}{r_{ij}^3}, \quad J_{ij}^{eff} = \begin{cases} -\delta + \sum_R A(r_i, R + r_j) & NN \\ \sum_R A(r_i, R + r_j) & \text{otros} \end{cases}$$

Tiempo requerido para un paso de MC depende solo de L^2

Dinámica de Tiempos Cortos

- Estado fundamental (OC) $\rightarrow T_c \leftarrow T = \infty$ fase paramagnética (DC)

$$O_{hv}(t) \propto t^{-\beta}/vz$$

$$O_{hv}^2(t) = \chi(t) \propto t^\gamma/vz$$

$$\chi(t) \propto t^\gamma/vz$$

$$U(t) \propto t^d/z$$

$$D(t) \propto t^1/vz$$

- Libre del enlentecimiento crítico.
- Valida (teórica y numéricamente) sistemas con interacciones de largo alcance.
- Distingue entre transiciones 1er. orden débiles y continuas.

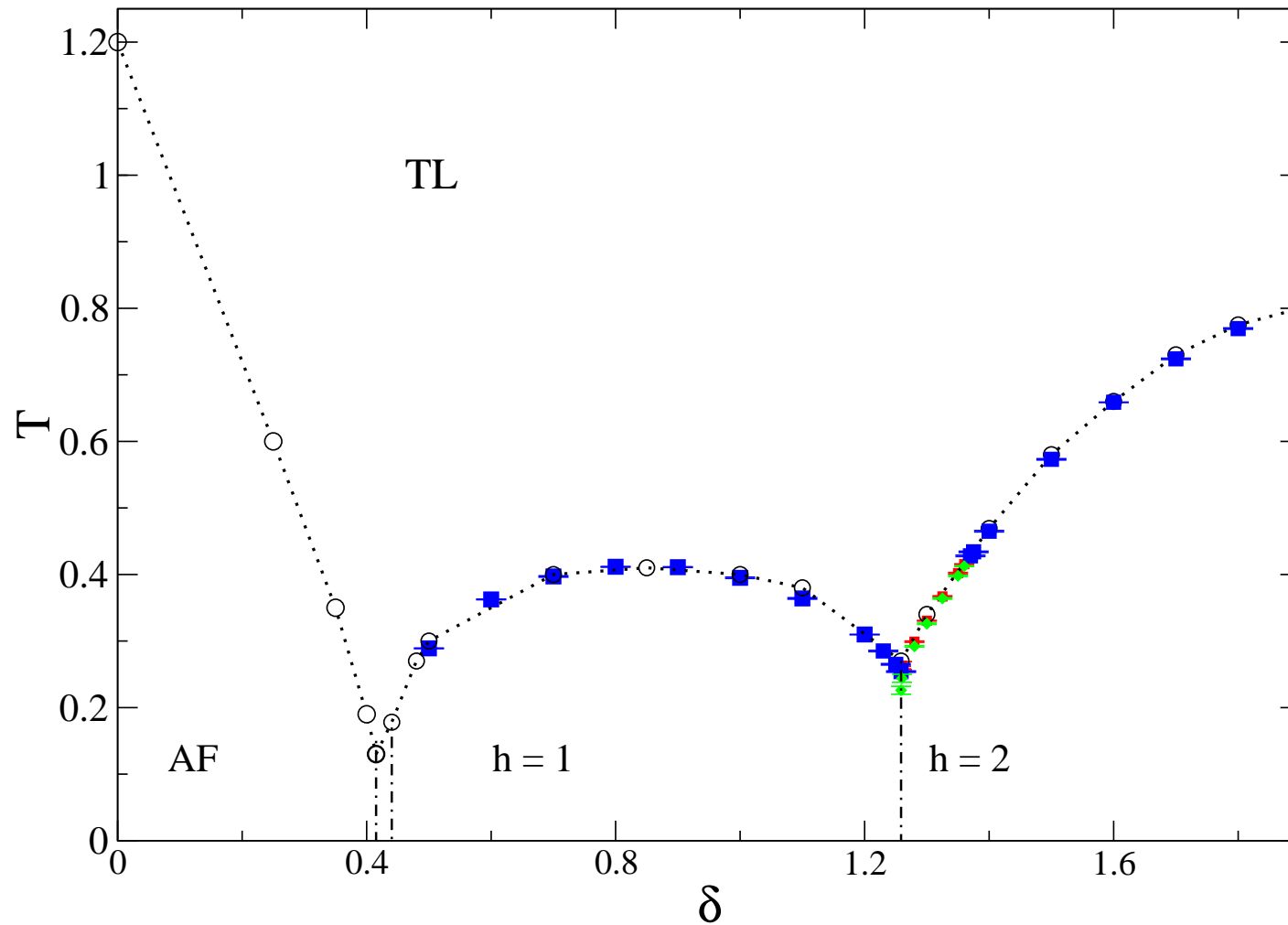
Estado fundamental $\rightarrow T_1 \neq T_2 \leftarrow T = \infty$ fase paramagnética

$$O_{hv}(t) \propto t^{-\omega} + O_{hv}^{sp}$$

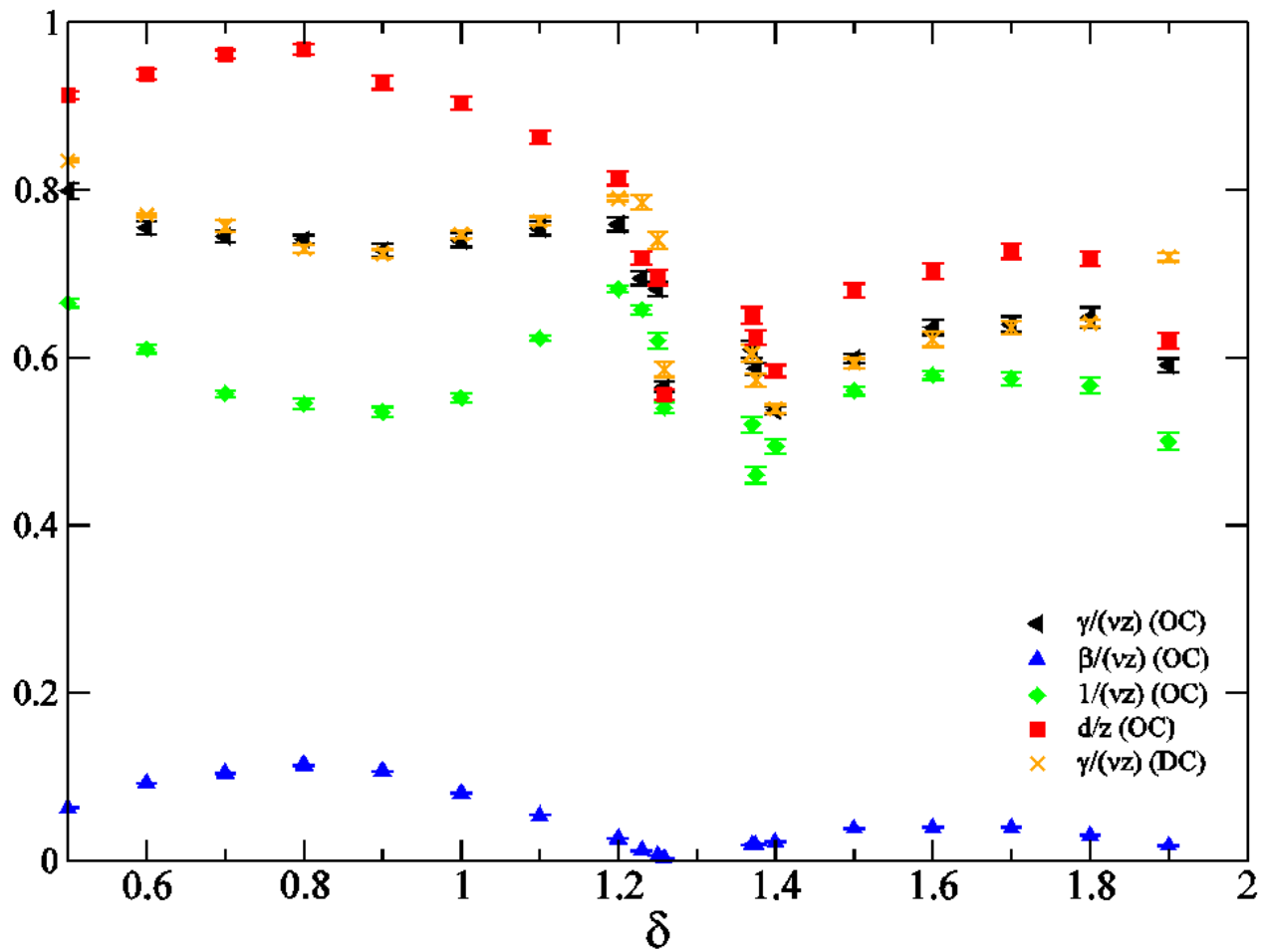
$$O_{hv}^2(t) = \chi(t) \propto t^{\omega'}$$

$$\chi(t) \propto t^\Omega$$

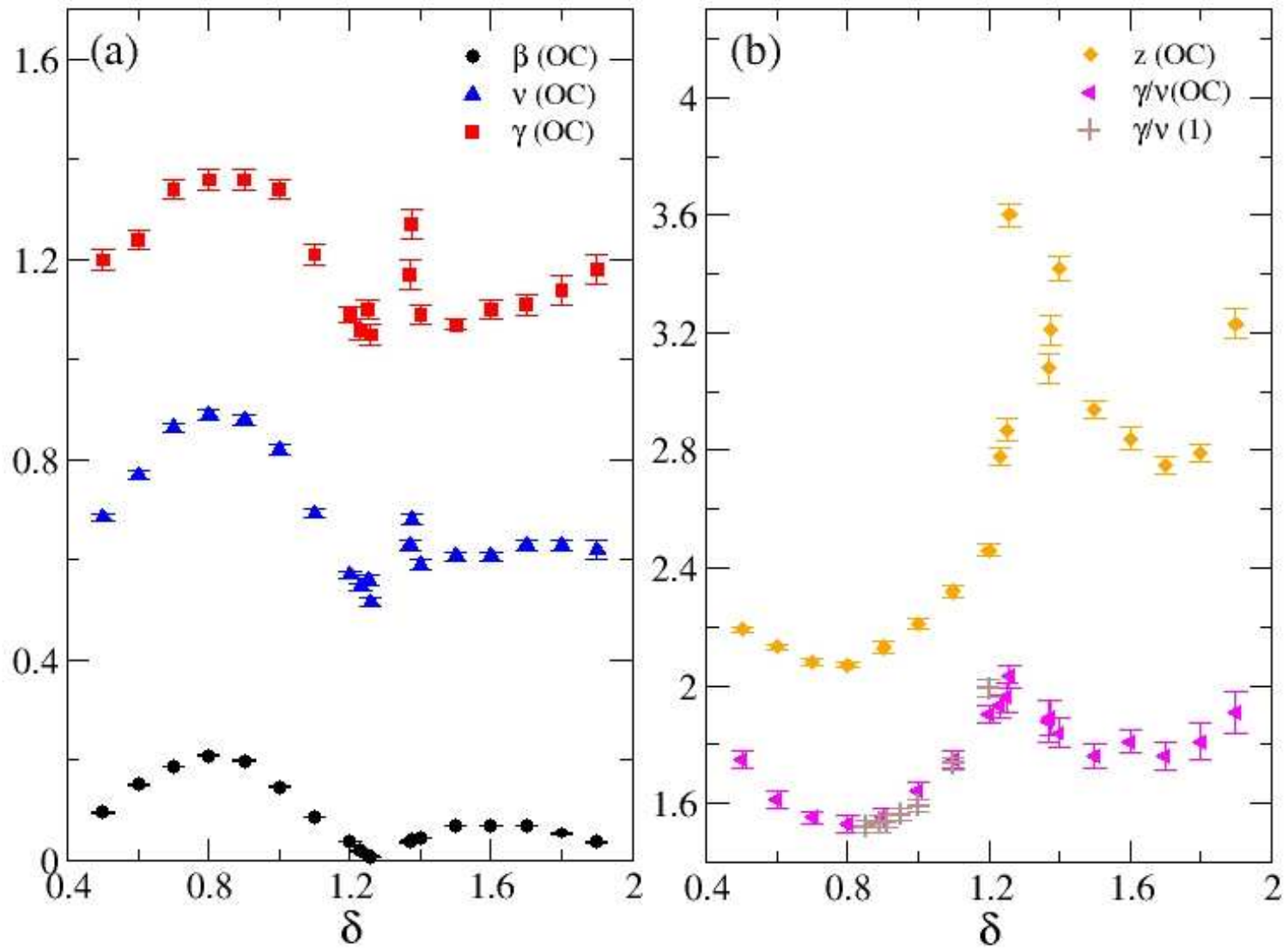
$0.5 \leq \delta \leq 1.25$ y $1.37 \leq \delta < 1.9$



Exponentes Dinámica Crítica



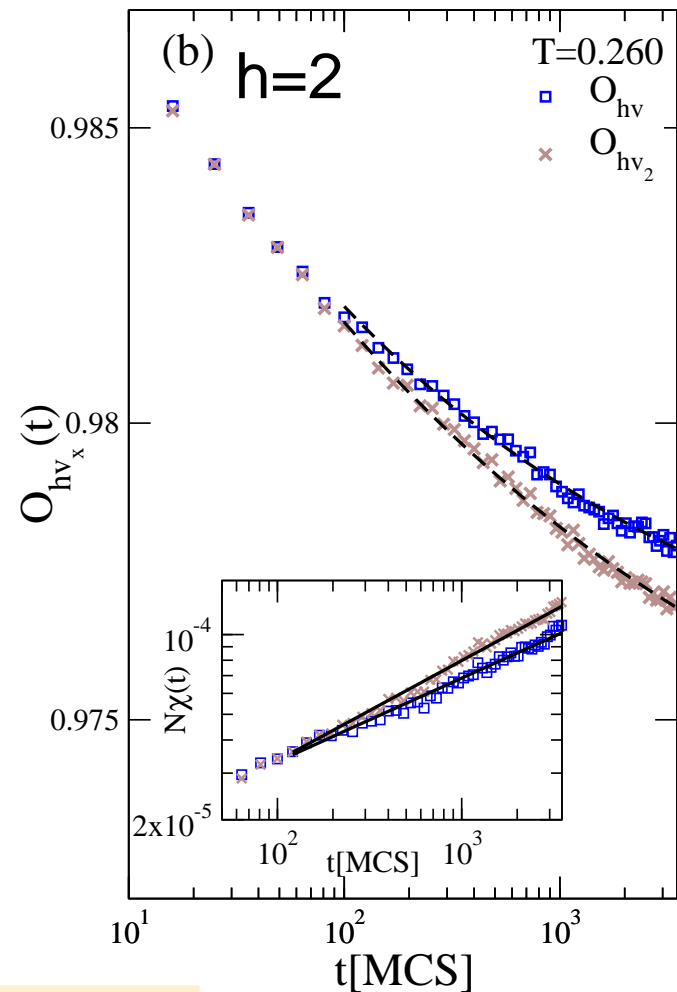
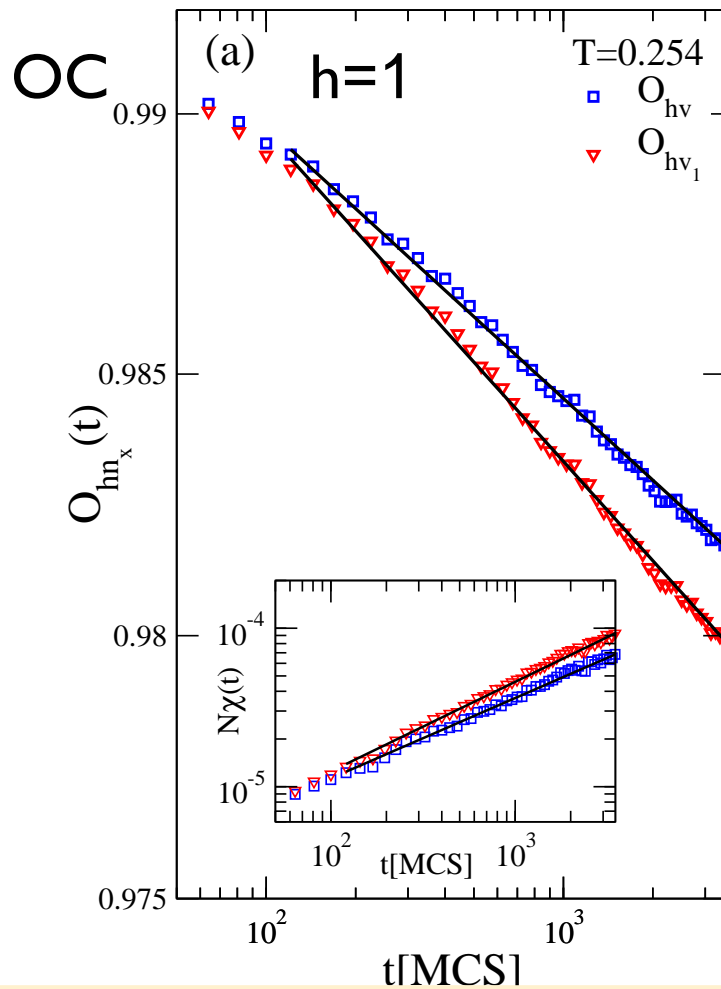
Exponentes Críticos



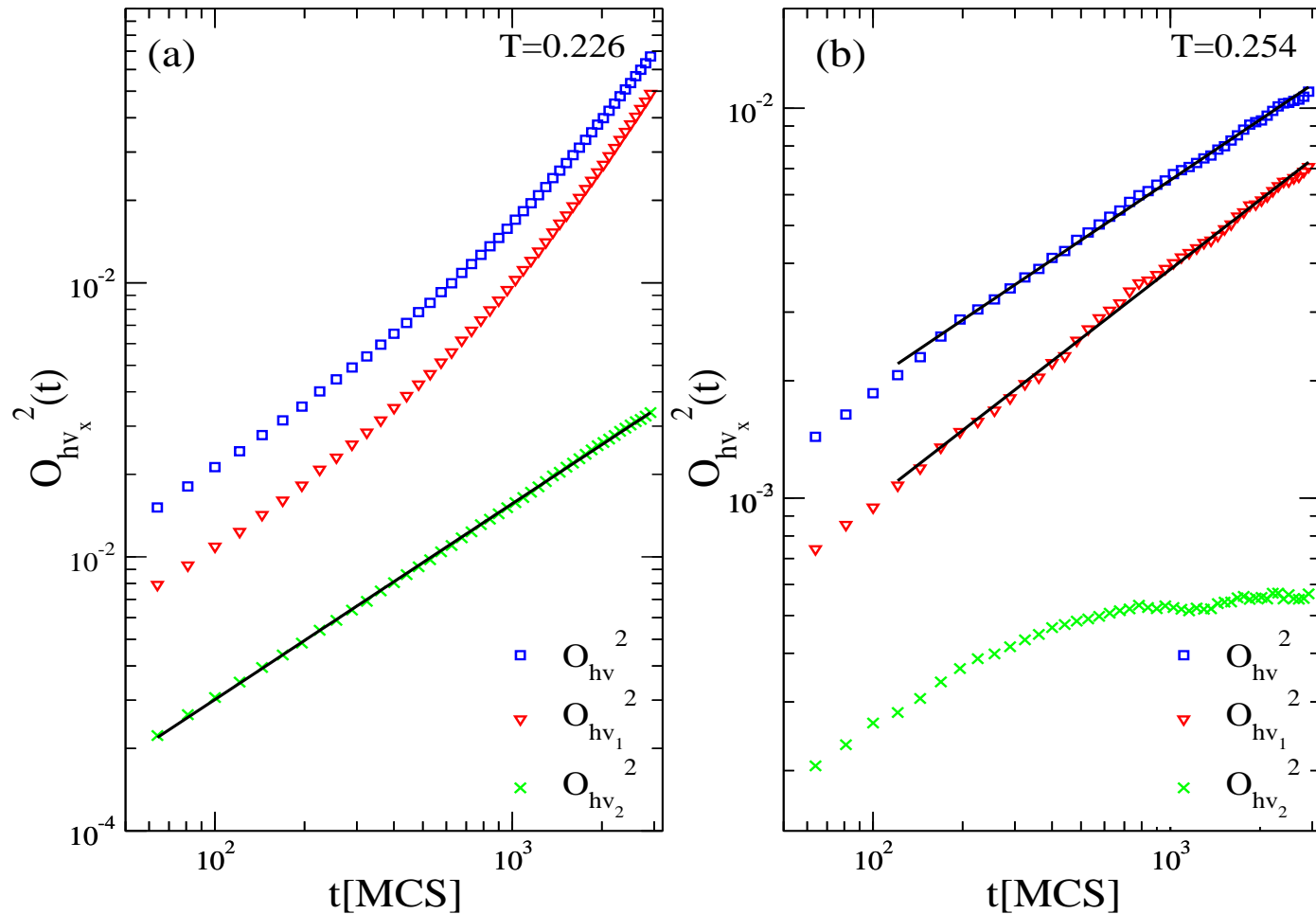
$\delta=1.2585$ (configuraciones ordenadas)

$$O_{hv_1} = \frac{n_{1v} - n_{1h}}{n_v + n_h} \begin{cases} 1 & h = 1 \\ 0 & \text{otras} \end{cases}$$

$$O_{hv_2} = \frac{n_{2v} - n_{2h}}{2(n_v + n_h)} \begin{cases} 1 & h = 2 \\ 0 & \text{otras} \end{cases}$$

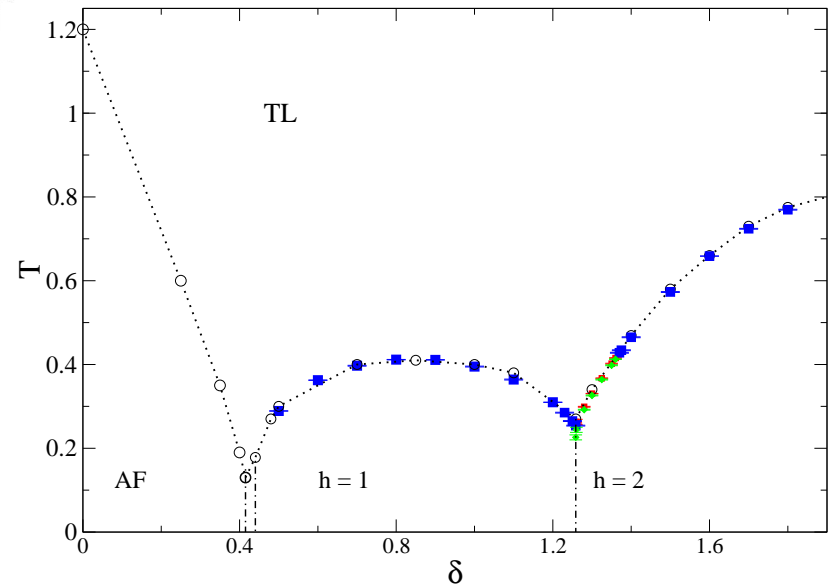
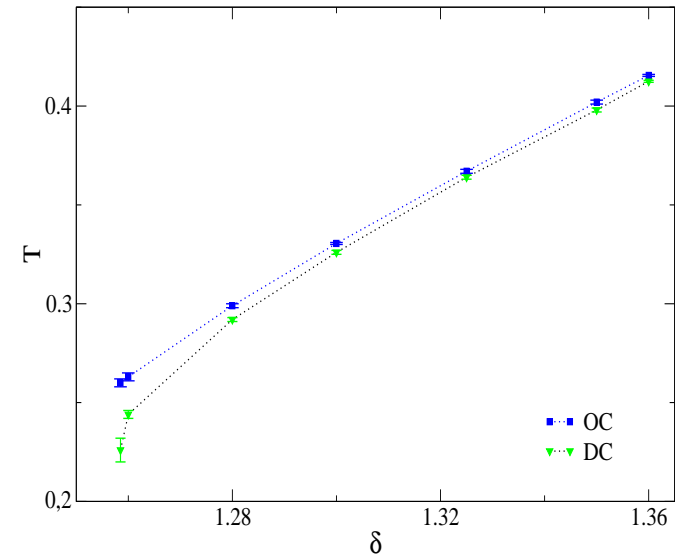
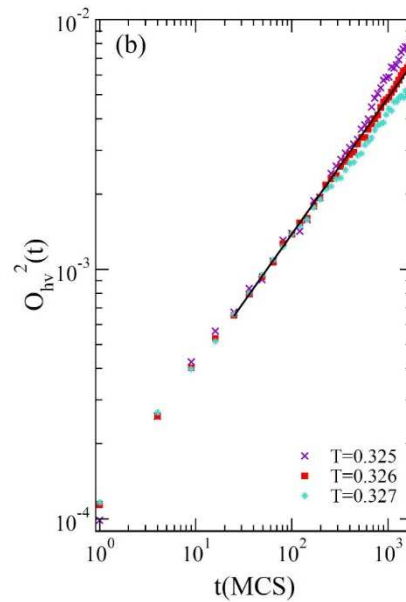
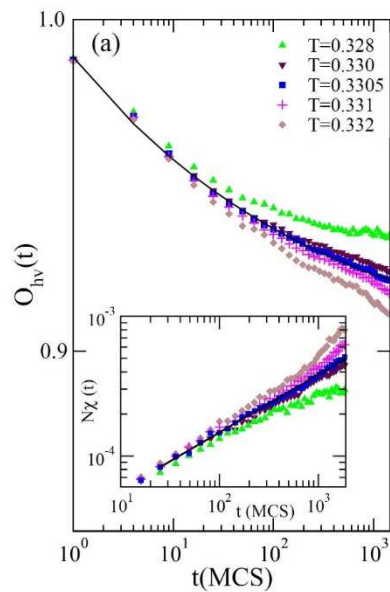


$\delta = |2585$ (configuración desordenada)



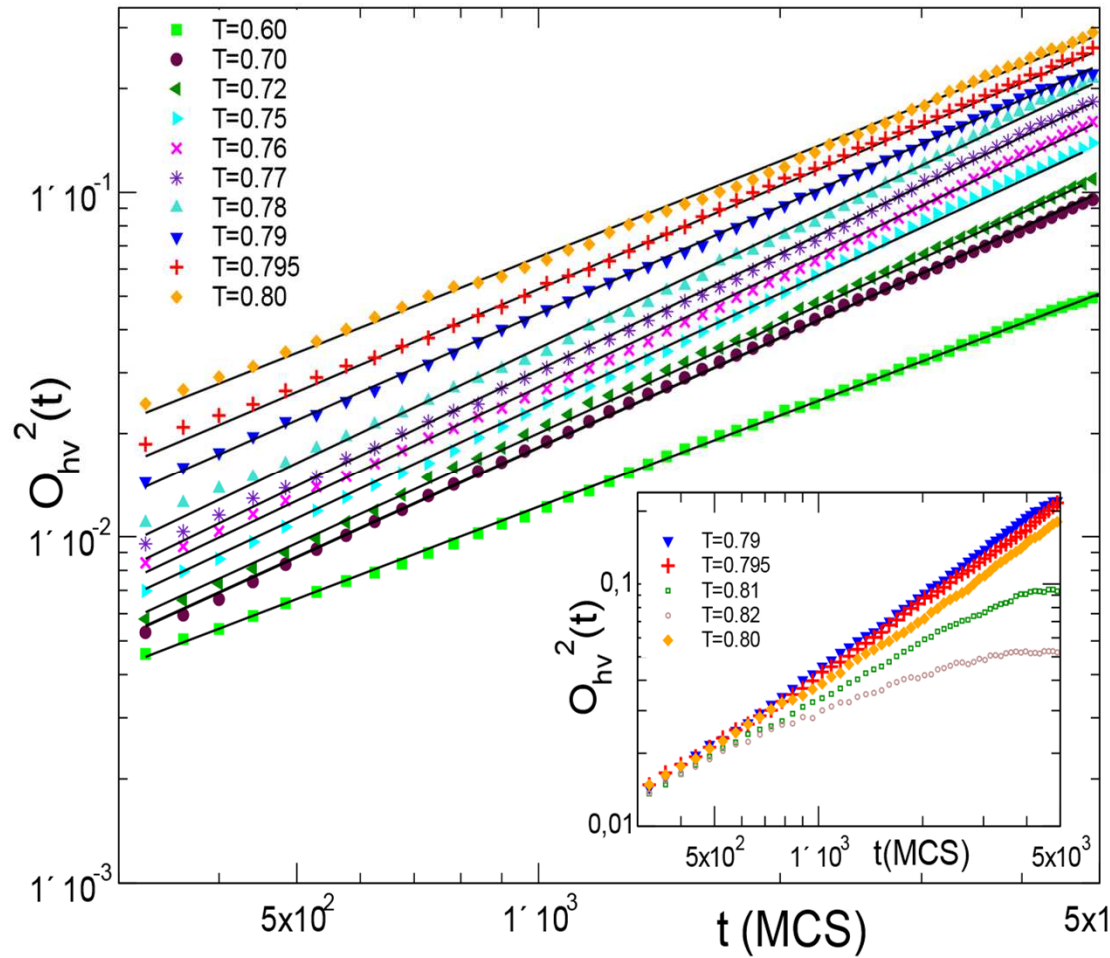
- $h=1 \leftrightarrow \text{TL continua}$
- $h=2 \leftrightarrow \text{TL 1er. Orden}$ Existe un punto multicrítico.

$1.26 \leq \delta \leq 1.36$

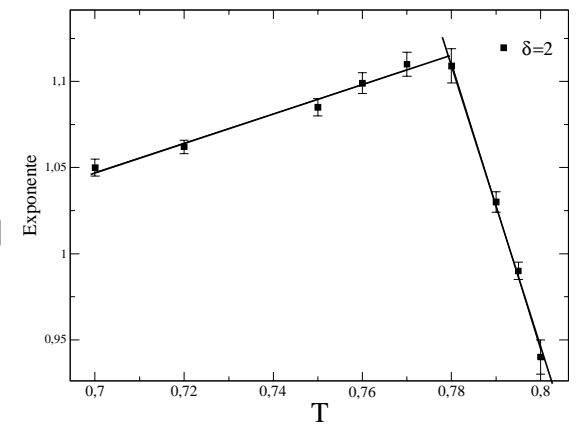


- Transición de 1er. Orden débil.
- Punto tricrítico $\delta \in [1.36, 1.37]$

El segundo escenario: h-NM-TL



Configuración inicial desordenada.
 $\delta = 2$



Configuración
inicial ordenada.

$$\delta = 2$$

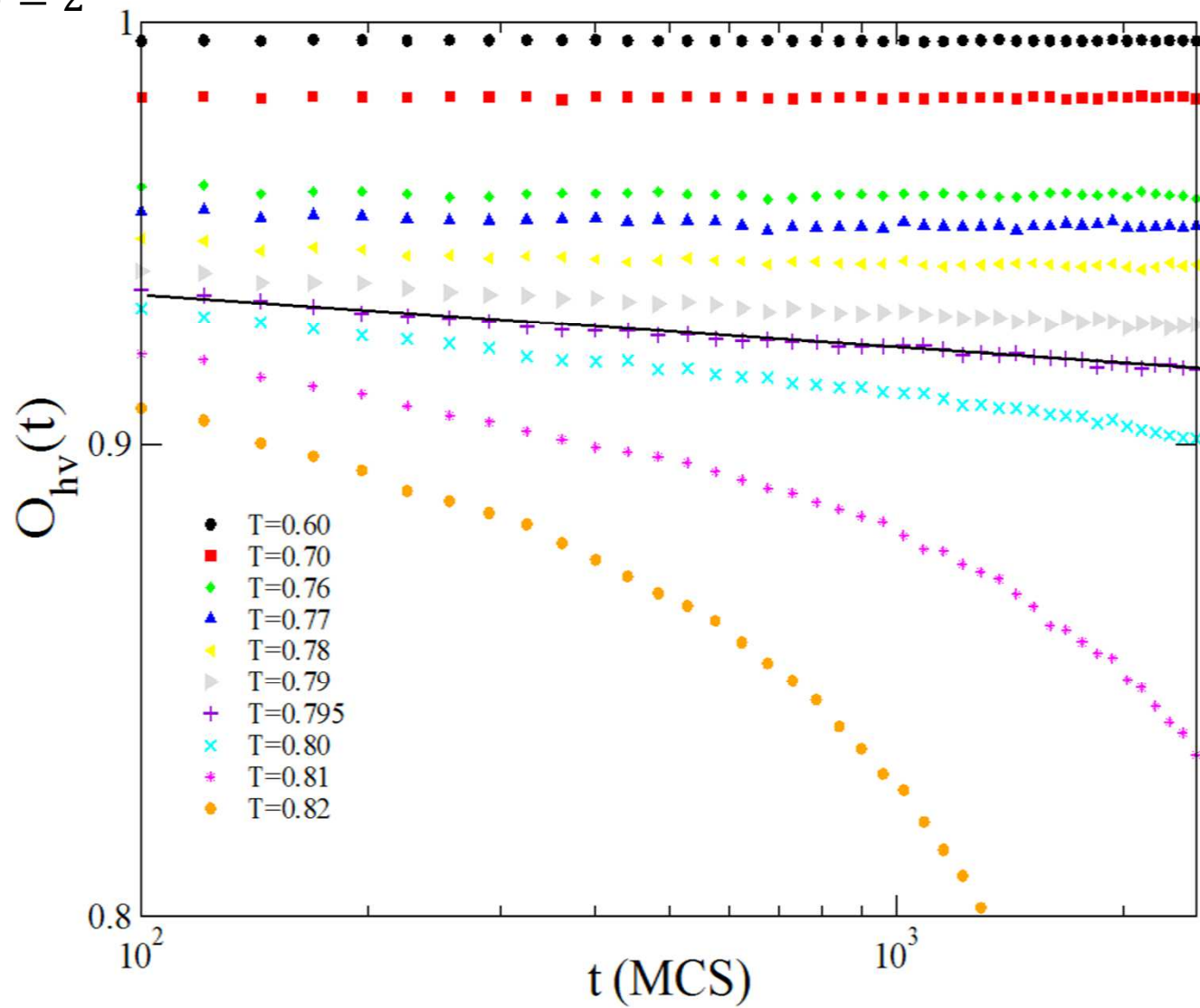


Diagrama de fases: las cruces indican nuestros resultados para las transiciones h-NM y NM-TL.

Los comportamientos antes mostrados corresponden a transiciones tipo Kosterlitz Thouless.

